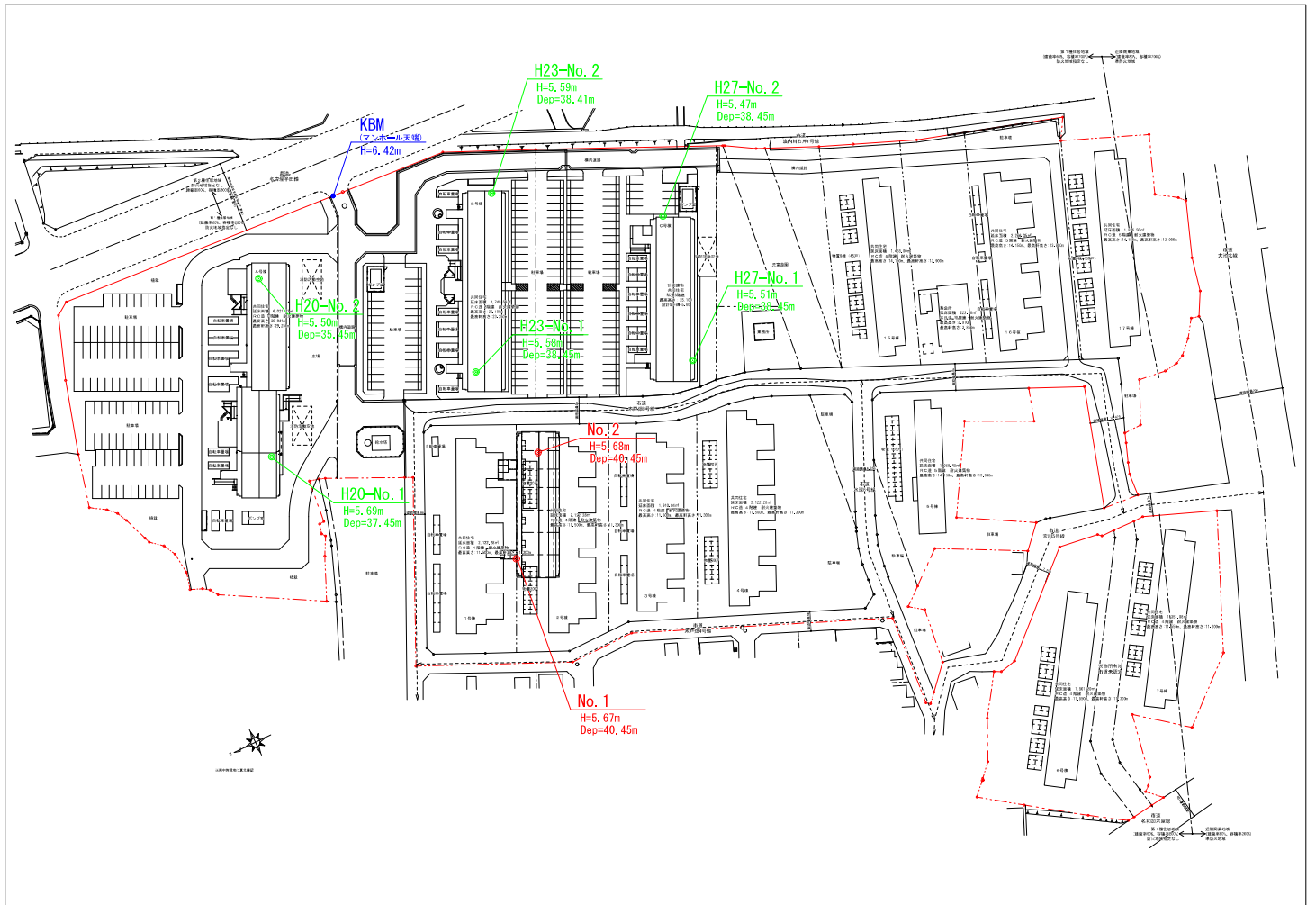


# 既存ボーリング柱状図

【清水住宅地質調査(第1次),(第2次),(第3次)】



# ボーリング柱状図

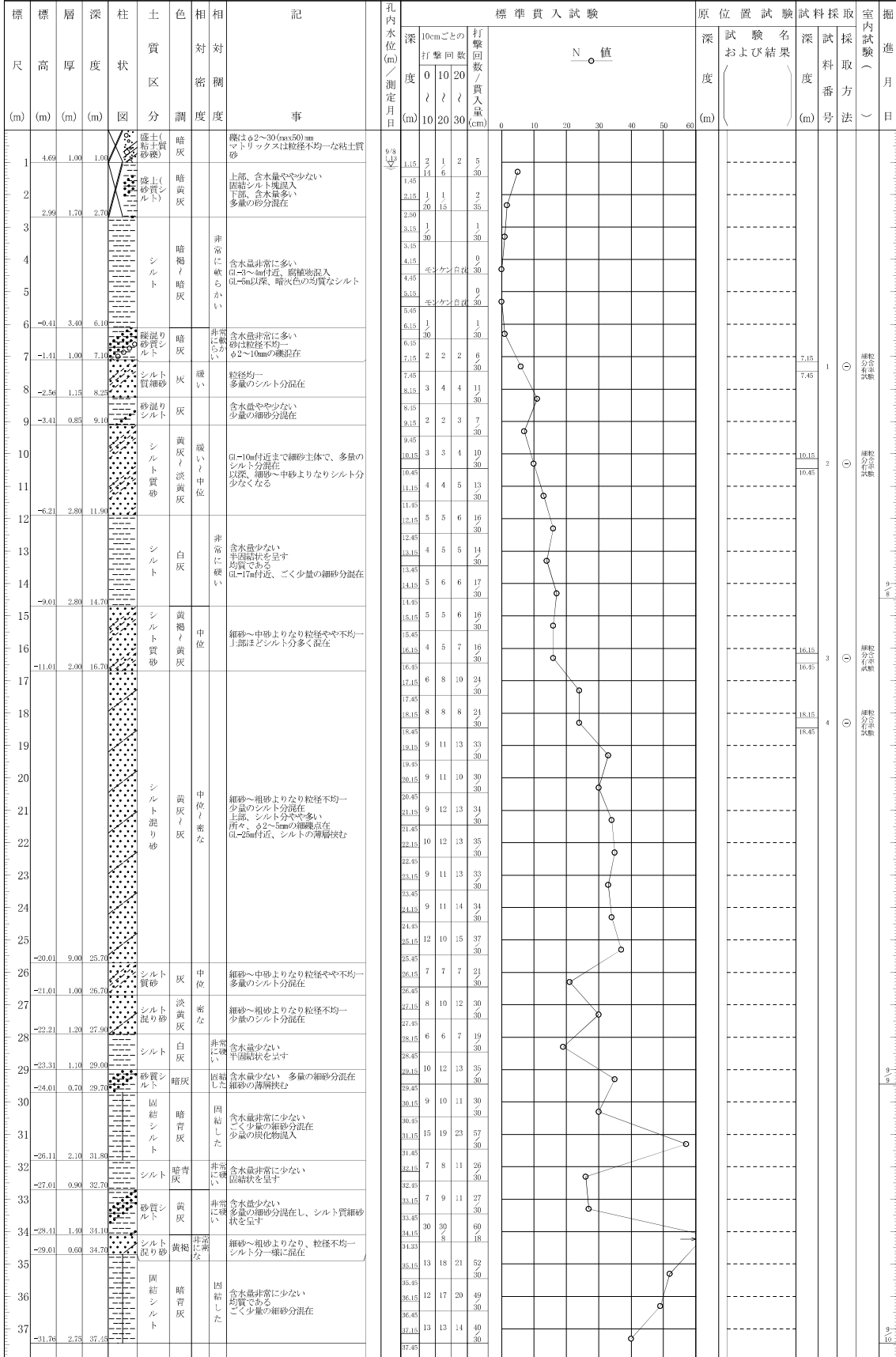
調査名 清水住宅地質調査(第1次)

ボーリングNo. 360732NT

事業・工事名

シートNo.

ボーリング名	既存No.1	調査位置	東海市荒尾町地内		北緯	35°1'42.0"		
発注機関	愛知県建設部建築担当局公営住宅課		調査期間	平成20年9月8日～20年9月10日				
調査業者名	株式会社アイテック 電話(052-917-1821)	主任技師	服部正実	現代代理人	目加田文子 コ鑑定者	目加田文子	ボーリング責任者	野口恒雄
孔口標高	H=5.69m	角	180°上 90°東 0°下	方	北0° 270°西 180°南	地盤勾配	鉛直 水平0°	
総掘進長	37.45m	度	90°	使用機種	カノーKR-100	ハンマー 落下用具	コーンブーリー	
				エンジン	ヤンマーNFD-10	ポンプ	カノーV-6	



# ボーリング柱状図

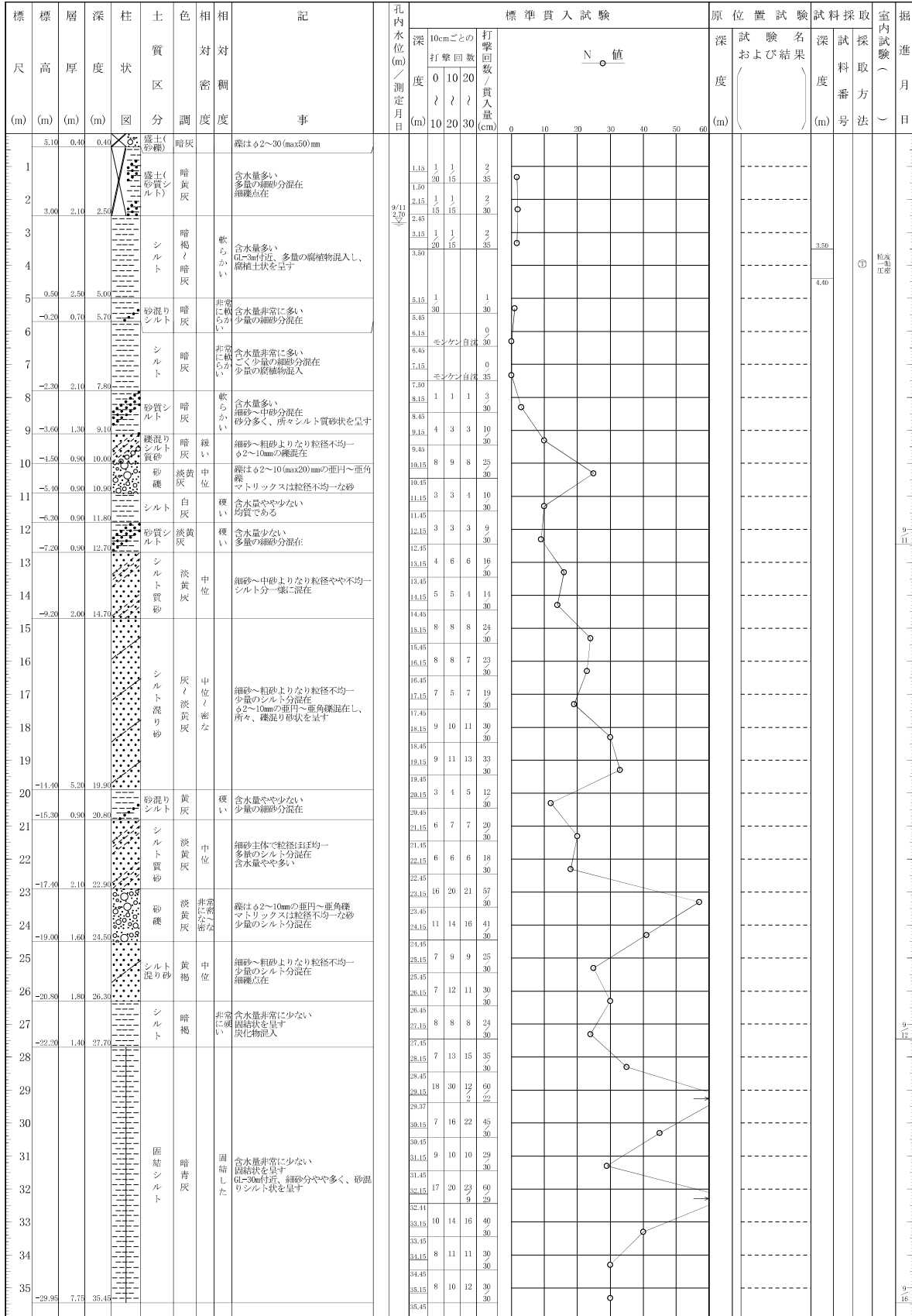
調査名 清水住宅地質調査(第1次)

ボーリングNo. 360732NT

事業・工事名

シートNo.

ボーリング名	既存No.2	調査位置	東海市荒尾町地内			北緯	35°1'42.0"				
発注機関	愛知県建設部建築担当局公営住宅課			調査期間	平成20年9月11日～20年9月16日		東経	136°54'51.0"			
調査業者名	株式会社アオイテック 電話(052-917-1821)		主任技師	服部正実	現代人	目加田文子	コ鑑定者	目加田文子	ボーリング責任者	野口恒雄	
孔口標高	H=5.50m	角	180° 上 90° 下	方	北0° 西180° 東90° 南	地盤勾配	鉛直90°	使用機種	カノーKR-100	ハンマー落下用具	コーンブリー
総掘進長	35.45m							エンジン	ヤママーNFD-10	ポンプ	カノーV-6





# ボーリング柱状図

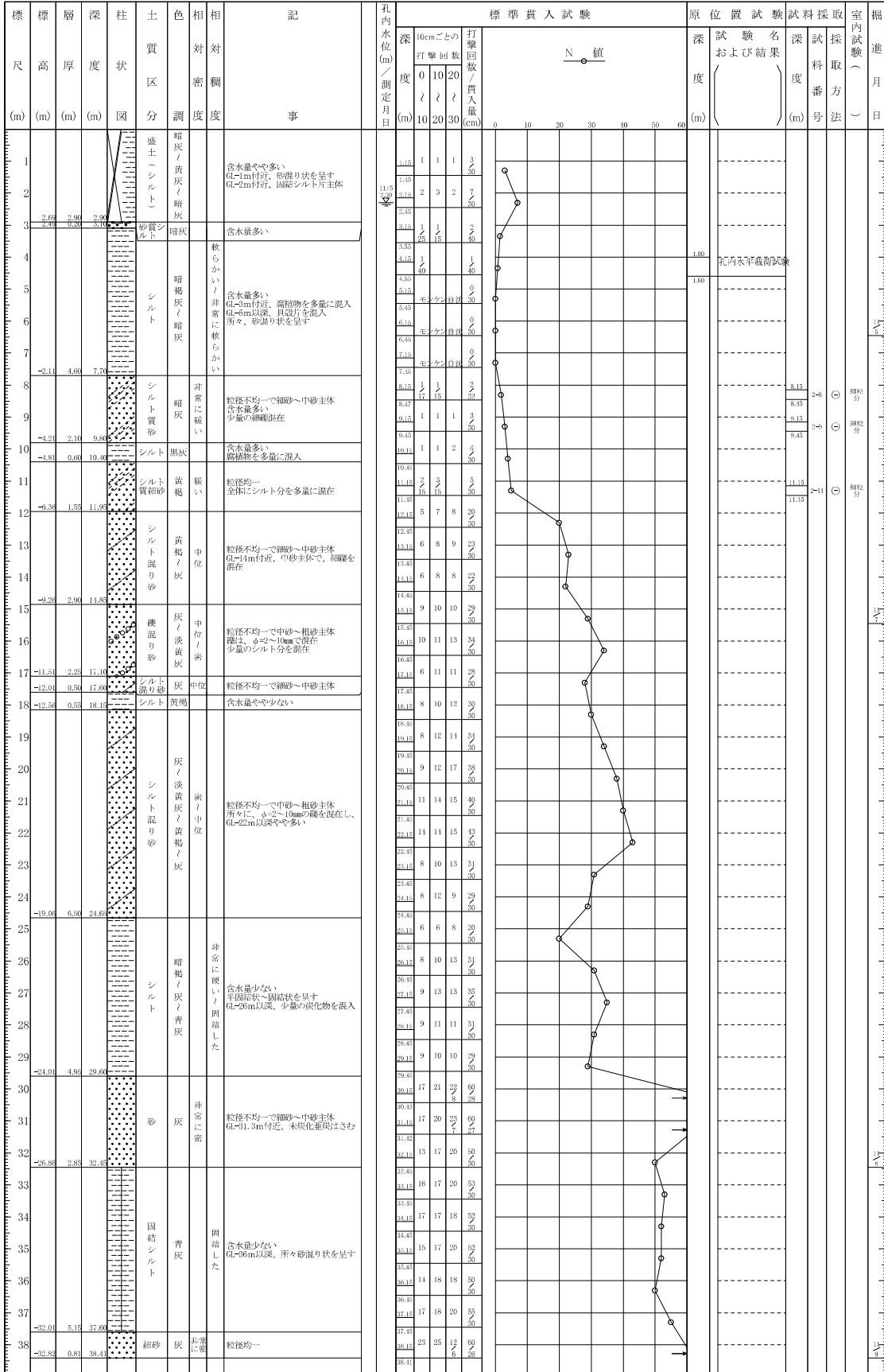
調 査 名 清水住宅地質調査(第2次)

ボーリングNo.   

事業・工事名

シートNo.

ボーリング名	No. 2	調査位置	東海市荒尾町水深地内		北 緯	35° 1' 37.6"
発注機関	愛知県建設部建築担当局公営住宅課	調査期間	平成 23年 11月 5日 ~ 23年 11月 10日		東 経	136° 54' 50.2"
調査業者名	株式会社 葵エンジニアリング 電話(052-486-2200)	主任技師	舟橋博文		現代 場 人	水野芳彦
孔口標高	H=5.59m	角	180° 上 90° 下 0°		コ 定 者	村瀬孝康
総掘進長	38.41m	方 向	北 0° 西 270° 南 180° 東 90°		地盤勾配	約 0°
		使用機種	カノKR-100H		ハンマー	落下用
		エンジン	ヤンマーNFD-9		ポンプ	カノV-6
		試験機	カノKR-100H		ハンマー	落下用
		エンジン	ヤンマーNFD-9		ポンプ	カノV-6













# 孔内水平載荷試験データ

JGS 1421	孔内水平載荷試験
----------	----------

調査件名 清水住宅地質調査(第4次) 試験年月日 2017.7.14

地点番号(地盤高) No.2-1(T.P.+5.68m) 試験者 近藤義明

測定深さ GL -6.50 m 孔内水位 GL -2.80 m

土質名 粘土混じり細砂 測定器名 A型

その他 初期スタンドパイプ水位1.50cm  
( B型はガードセル初期圧: )

メーター指示圧力 Pm kN/m <sup>2</sup>	圧力		変位					クリープ変化量: ΔVまたは ΔH	V(ml) または H(cm)	r(cm) または Δr(cm)	備考
	補正圧力 Pc kN/m <sup>2</sup>	測定管載荷圧力 P kN/m <sup>2</sup>	スタンドパイプ読み Vm(ml) または Hm(cm)								
			15"	30"	1'	2'	3'				
0 (設置時初期圧 Pm0)	0	0	初期値 (Vm)0または(Hm)0					1.7	0.0	3.00	記入項目
20	20	0	2.0	2.1	2.2			0.1	0.7	3.04	A型: Pm, Pc, P
40	33	7	2.9	3.2	3.3			0.1	1.8	3.09	Hm, ΔH, H, r
60	49	11	4.1	4.3	4.6			0.3	3.1	3.16	B型: Pm, Pc, P
80	65	15	5.3	5.7	6.0			0.3	4.5	3.23	Vm, ΔV, V
100	73	27	6.8	7.3	7.6			0.3	6.1	3.31	C型: Pm, P, Hm
120	85	35	8.3	8.9	9.3			0.4	7.8	3.39	ΔVr
140	90	50	9.9	10.0	10.2			0.2	8.7	3.43	
160	92	68	10.4	10.5	10.6			0.1	9.1	3.45	
180	95	85	10.8	10.9	11.1			0.2	9.6	3.47	
200	97	103	11.3	11.5	11.7			0.2	10.2	3.50	
220	99	121	11.9	12.0	12.2			0.2	10.7	3.52	
240	101	139	12.5	12.6	12.8			0.2	11.3	3.55	
260	103	157	13.0	13.2	13.4			0.2	11.9	3.57	
280	105	175	13.6	13.8	14.0			0.2	12.5	3.60	
300	107	193	14.2	14.3	14.6			0.3	13.1	3.63	
320	108	212	14.8	14.9	15.1			0.2	13.6	3.65	
340	110	230	15.4	15.5	15.7			0.2	14.2	3.67	
360	111	249	15.9	16.0	16.2			0.2	14.7	3.70	
380	112	268	16.4	16.5	16.6			0.1	15.1	3.71	
400	113	287	16.7	16.8	16.9			0.1	15.4	3.73	
420	114	306	17.1	17.2	17.3			0.1	15.8	3.74	
440	115	325	17.3	17.3	17.4			0.1	15.9	3.75	
460	115	345	17.5	17.5	17.6			0.1	16.1	3.76	
480	115	365	17.6	17.6	17.7			0.1	16.2	3.76	

特記事項

A型:  $P=Pm-Pc, Pc=Ps-Ps$   
ここに, Ps, Pc は静水圧差  
およびゴム膨張圧補正值

B型:  $P=Pm-Pc, Pc=Pm0+Pg-(Z+h)/10$   
ここに, Pm0は初期圧力,  
Zおよびhは深さおよび圧  
力計の地上高(m)

C型:  $P=Pm \times$  荷重較正係数

A型: Hmを計測、 $\Delta H=(Hm)_{1'}-(Hm)_{30^*}$   
 $H=(Hm)_{1'}-(Hm)_0$ , rはタンクのH-r曲線から  
求める

B型: Vmを計測、  
 $\Delta V=(Vm)_{1'}-(Vm)_{30^*}$   
 $V=(Vm)_{1'}-(Vm)_0$

C型: Hmを計測、 $\Delta r=\{(Hm)_{3'}-(Hm)_0\} \times$  較正係数

J G S 1421	孔 内 水 平 載 荷 試 験	
------------	-----------------	--

調査件名 清水住宅地質調査(第4次) 試験年月日 2017.7.14

地点番号 (地盤高) No.2 - 1(T.P.+5.68m) 試験者 近藤義明

測定深さ GL -6.50 m 孔内水位 GL -2.80 m

土質名 粘土混じり細砂 測定器名 A型

その他 初期スタンドパイプ水位1.50cm  
( B型はガードセル初期圧: )

メーター指示圧力 P <sub>m</sub> kN/m <sup>2</sup>	圧 力		変 位					ク リ ー プ 変 化 量 : ΔV ま た は ΔH	V(ml) または H(cm)	r(cm) または Δr(cm)	備 考
	補正圧力 P <sub>c</sub> kN/m <sup>2</sup>	測定管 載荷圧力 P kN/m <sup>2</sup>	ス タ ン ド パ イ プ 読 み								
			15"	30"	1'	2'	3'				
500	116	384	17.8	17.8	17.9			0.1	16.4	3.77	記入項目 A型: P <sub>m</sub> , P <sub>c</sub> , P H <sub>m</sub> , ΔH, H, r B型: P <sub>m</sub> , P <sub>c</sub> , P V <sub>m</sub> , ΔV, V C型: P <sub>m</sub> , P, H <sub>m</sub> ΔV <sub>r</sub>
520	117	403	18.0	18.0	18.1			0.1	16.6	3.78	
540	117	423	18.2	18.2	18.3			0.1	16.8	3.78	
560	118	442	18.4	18.4	18.5			0.1	17.0	3.79	
580	118	462	18.6	18.6	18.7			0.1	17.2	3.80	
600	119	481	18.7	18.7	18.8			0.1	17.3	3.81	
620	119	501	19.0	19.0	19.1			0.1	17.6	3.82	
640	120	520	19.2	19.2	19.3			0.1	17.8	3.83	
660	121	539	19.4	19.5	19.6			0.1	18.1	3.84	
680	121	559	19.7	19.7	19.8			0.1	18.3	3.85	
700	122	578	19.9	19.9	20.0			0.1	18.5	3.86	
720	122	598	20.1	20.1	20.2			0.1	18.7	3.86	
740	123	617	20.3	20.3	20.5			0.2	19.0	3.88	
760	124	636	20.7	20.7	20.8			0.1	19.3	3.89	
780	124	656	20.9	21.0	21.1			0.1	19.6	3.90	
800	125	675	21.2	21.3	21.5			0.2	20.0	3.92	
820	125	695	21.6	21.7	21.8			0.1	20.3	3.93	
840	126	714	21.9	22.0	22.2			0.2	20.7	3.94	
860	126	734	22.3	22.4	22.7			0.3	21.2	3.96	
880	126	754	22.9	22.9	23.1			0.2	21.6	3.98	
900	127	773	23.2	23.3	23.5			0.2	22.0	4.00	
920	127	793	23.6	23.7	24.1			0.4	22.6	4.02	
940	127	813	24.2	24.3	24.7			0.4	23.2	4.04	
955	127	828	24.8	24.9	25.4			0.5	23.9	4.07	
970	127	843	25.6	25.8	26.5			0.7	25.0	4.11	

特記事項  
A型: P=P<sub>m</sub>-P<sub>c</sub>, P<sub>c</sub>=P<sub>0</sub>-P<sub>s</sub>  
ここに, P<sub>s</sub>, P<sub>0</sub> は静水圧差  
およびゴム膨張圧補正值  
B型: P=P<sub>m</sub>-P<sub>c</sub>, P<sub>c</sub>=P<sub>m0</sub>+P<sub>c</sub>-  
(Z+h)/10  
ここに, P<sub>m0</sub>は初期圧力,  
Zおよびhは深さおよび圧  
力計の地上高(m)  
C型: P=P<sub>m</sub>×荷重較正係数

A型: H<sub>m</sub>を計測、ΔH=(H<sub>m</sub>)<sub>1'</sub>-(H<sub>m</sub>)<sub>30'</sub>  
H=(H<sub>m</sub>)<sub>1'</sub>-(H<sub>m</sub>)<sub>0</sub>, rはタンクのH-r曲線から  
求める  
B型: V<sub>m</sub>を計測、  
ΔV=(V<sub>m</sub>)<sub>1'</sub>-(V<sub>m</sub>)<sub>30'</sub>  
V=(V<sub>m</sub>)<sub>1'</sub>-(V<sub>m</sub>)<sub>0</sub>  
C型: H<sub>m</sub>を計測、Δrは半径変化量で  
Δr={ (H<sub>m</sub>)<sub>3'</sub>-(H<sub>m</sub>)<sub>0</sub> }×較正係数

J G S 1421	孔 内 水 平 載 荷 試 験	
------------	-----------------	--

調査件名 清水住宅地質調査(第4次) 試験年月日 2017. 7. 14

地点番号 (地盤高) No. 2 - 1 (T. P. +5. 68m) 試験者 近藤義明

測定深さ GL -6. 50 m 孔内水位 GL -2. 80 m

土質名 粘土混じり細砂 測定器名 A型

その他 初期スタンドパイプ水位1. 50cm  
( B型はガードセル初期圧 : )

メーター指示圧力 Pm kN/m <sup>2</sup>	圧 力		変 位					クリープ 変化量: ΔVまたは ΔH	V(ml) または H(cm)	r(cm) または Δr(cm)	備 考
	補正圧力 Pc kN/m <sup>2</sup>	測定管 荷圧力 P kN/m <sup>2</sup>	スタンドパイプ読み Vm(ml) または Hm(cm)								
			15"	30"	1'	2'	3'				
985	128	857	26. 6	26. 8	27. 8			1. 0	26. 3	4. 16	記入項目 A型 : Pm, Pc, P Hm, ΔH, H, r B型 : Pm, Pc, P Vm, ΔV, V C型 : Pm, P, Hm Δr

特記事項

A型 : P=Pm-Pc, Pc=P0-Ps  
ここに, Ps, P0 は静水圧差  
およびゴム膨張圧補正值

B型 : P=Pm-Pc, Pc=Pm0+Pg-(Z+h)/10  
ここに, Pm0は初期圧力,  
Zおよびhは深さおよび圧  
力計の地上高(m)

C型 : P=Pm×荷重較正係数

A型 : Hmを計測、ΔH=(Hm)1'-(Hm)30"  
H=(Hm)1'-(Hm)0, rはタンクのH-r曲線から  
求める

B型 : Vmを計測、  
ΔV=(Vm)1'-(Vm)30"  
V=(Vm)1'-(Vm)0

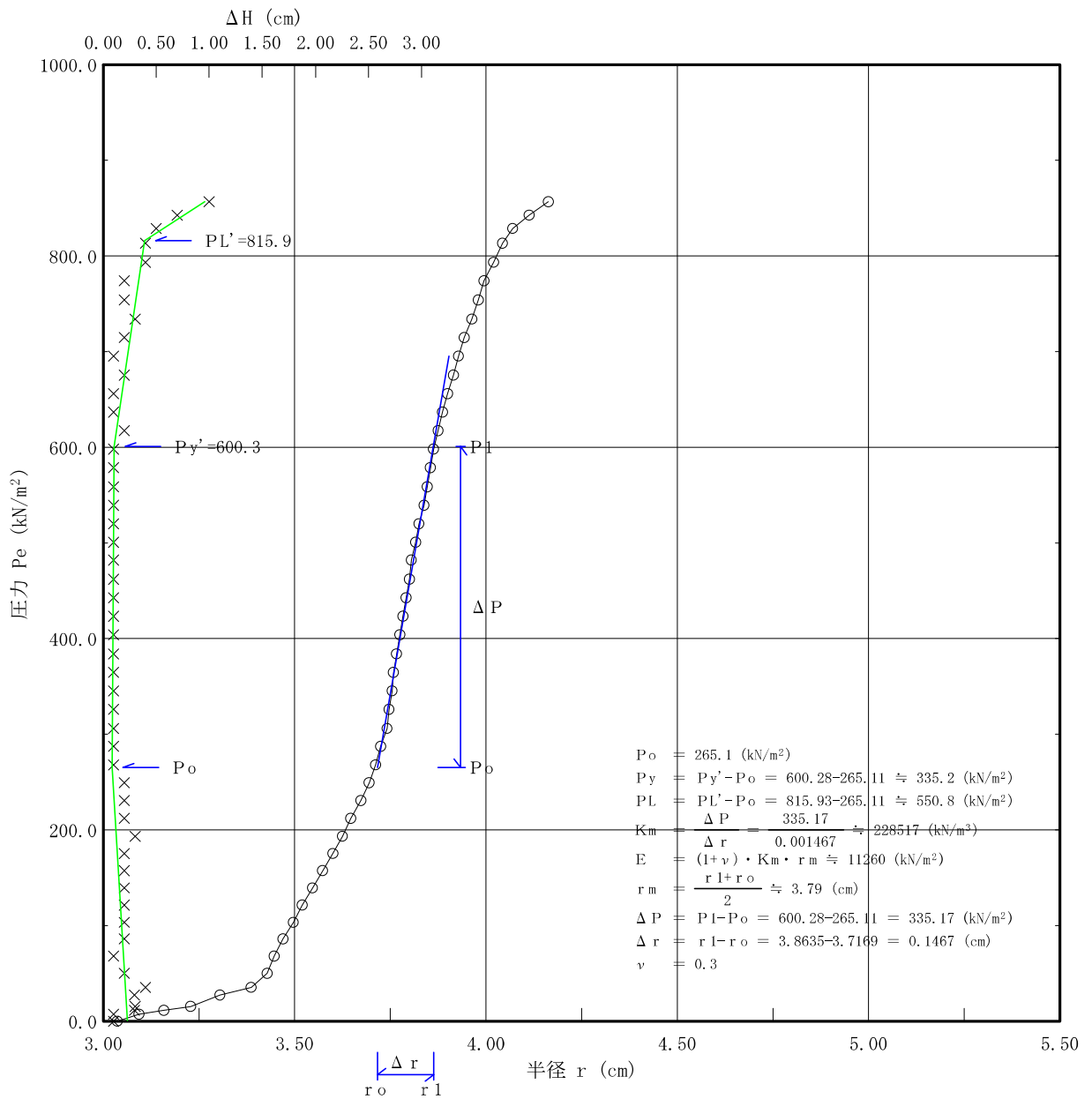
C型 : Hmを計測、Δrは半径変化量で  
Δr={ (Hm)3'-(Hm)0 }×較正係数

# 孔内水平載荷試験

調査件名	清水住宅地質調査(第4次)		
測定番号	No. 2 - 1	深 度	GL -6.50 m
測定月日	2017年 7月14日	時 間	11:00
使用ゴム筒	生ゴムハイカー	N 値	5
地 質 名	粘土混じり細砂		

試験装置	L L T
試験時の状況	

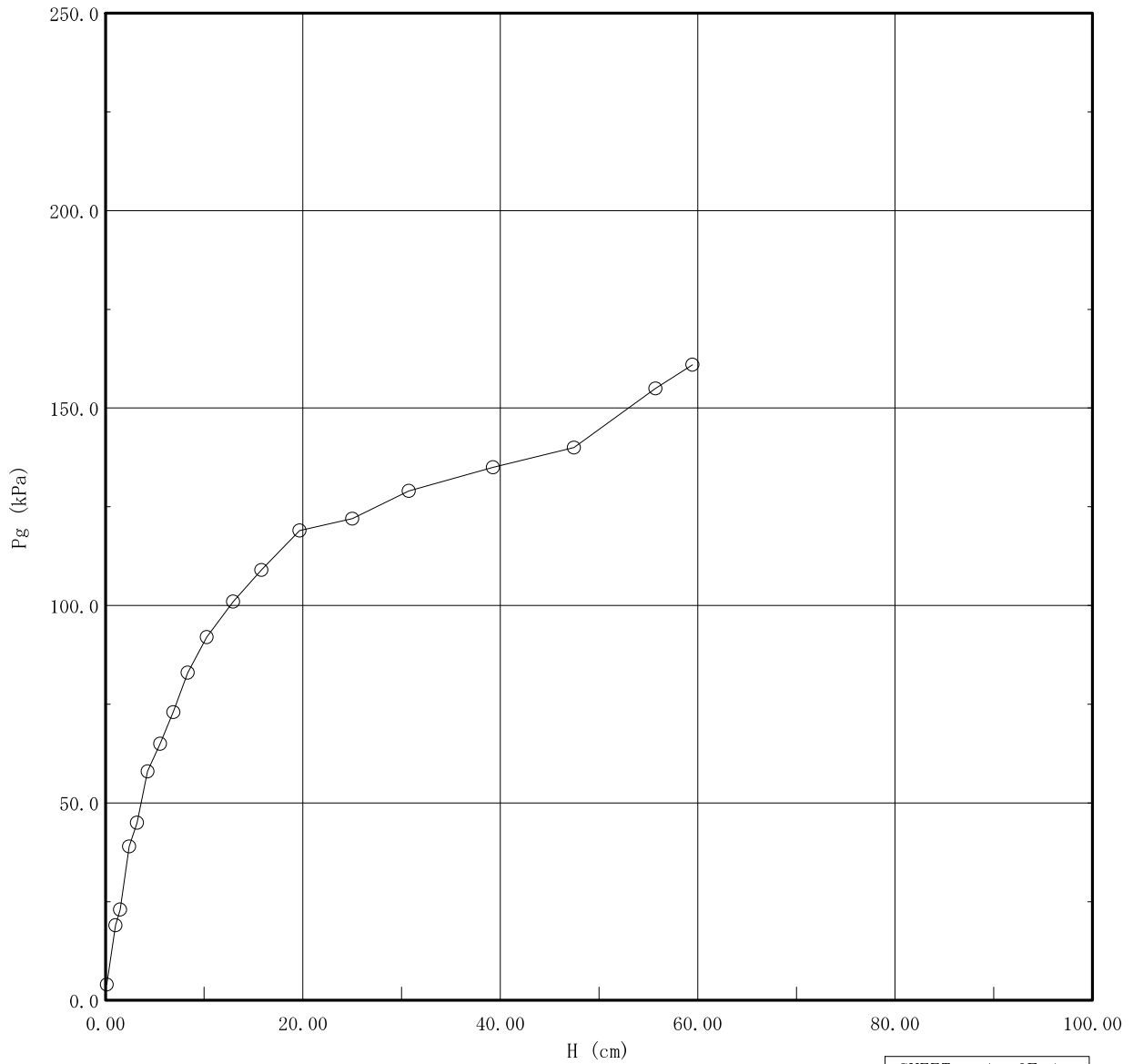
静止土圧 $P_o$ (kN/m <sup>2</sup> )	降伏圧 $P_y$ (kN/m <sup>2</sup> )	破壊圧 $P_L$ (kN/m <sup>2</sup> )	地盤係数 $K_m$ (kN/m <sup>3</sup> )	変形係数 $E$ (kN/m <sup>2</sup> )	K値を求めた 中間半径 $r_m$ (cm)
265.1	335.2	550.8	228,500	11,260	3.79



# ゴム反力検定結果

初期スタンドパイプ水位  $H_0 = 0.5 \text{ (cm)}$

$P_g \text{ (kPa)}$	$H' \text{ (cm)}$	$H \text{ (cm)}$ $H' - H_0$	$P_g \text{ (kPa)}$	$H' \text{ (cm)}$	$H \text{ (cm)}$ $H' - H_0$
4.00	0.70	0.20	109.00	16.35	15.85
19.00	1.50	1.00	119.00	20.20	19.70
23.00	1.97	1.47	122.00	25.50	25.00
39.00	2.95	2.45	129.00	31.30	30.80
45.00	3.76	3.26	135.00	39.80	39.30
58.00	4.80	4.30	140.00	48.00	47.50
65.00	6.09	5.59	155.00	56.30	55.80
73.00	7.38	6.88	161.00	60.00	59.50
83.00	8.88	8.38			
92.00	10.80	10.30			
101.00	13.45	12.95			





# 室内土質試験データ

土質試験結果一覧表(基礎地盤)

調査件名 清水住宅地質調査(第4次)

整理年月日

平成29年7月29日

整理担当者

松村政広

試料番号 (深 さ)		2P-6 (6.15~6.45m)	2P-9 (9.15~9.45m)	2P-16 (16.15~16.45m)	2P-19 (19.15~19.45m)		
一般	湿潤密度 $\rho_t$ g/cm <sup>3</sup>						
	乾燥密度 $\rho_d$ g/cm <sup>3</sup>						
	土粒子の密度 $\rho_s$ g/cm <sup>3</sup>						
	自然含水比 $w_n$ %						
	間隙比 $e$						
	飽和度 $S_r$ %						
粒度	石分 (75mm 以上)%						
	礫分 <sup>1)</sup> (2 ~ 75mm)%	} 69	} 81	} 71	} 84		
	砂分 <sup>1)</sup> (0.075 ~ 2mm)%						
	シルト分 <sup>1)</sup> (0.005~0.075mm)%	} 31	} 19	} 29	} 16		
	粘土分 <sup>1)</sup> (0.005mm未満)%						
	最大粒径 mm						
均等係数 $U_c$							
コンシステンシー特性	液性限界 $w_L$ %						
	塑性限界 $w_p$ %						
	塑性指数 $I_p$						
分類	地盤材料の分類名						
	分類記号						
圧密	試験方法						
	圧縮指数 $C_c$						
	圧密降伏応力 $P_c$ kN/m <sup>2</sup>						
一軸圧縮	一軸圧縮強さ $q_u$ kN/m <sup>2</sup>						
	破壊ひずみ $\epsilon_f$ %						
	変形係数E50 MN/m <sup>2</sup>						
せん断	試験条件						
	全応力	$c$ kN/m <sup>2</sup>					
		$\phi$ °					
	有効応力	$c'$ kN/m <sup>2</sup>					
$\phi'$ °							

特記事項

1) 石分を除いた75mm未満の土質材料に対する百分率で表す。

[1kN/m<sup>2</sup>≒0.0102kgf/cm<sup>2</sup>]

JIS A 1223 JGS 0135	土の細粒分含有率試験	
------------------------	------------	--

調査件名 清水住宅地質調査(第4次)

試験年月日 平成29年7月29日

試験者 松村政広

試料番号(深さ)		2P-6(6.15~6.45m)		2P-9(9.15~9.45m)		2P-16(16.15~16.45m)	
含水比	容器 No.	436	533	524	338	455	323
	$m_a$ g	127.37	106.92	132.91	110.58	133.96	125.81
	$m_b$ g	105.23	90.13	111.00	93.30	110.25	104.40
	$m_c$ g	28.09	32.25	28.01	28.32	31.75	32.08
	w %	28.7	29.0	26.4	26.6	30.2	29.6
平均値 w %		28.9		26.5		29.9	
試料の 炉乾燥 質量	容器 No.	436		524		323	
	(試料+容器)質量 g	319.17		347.20		308.02	
	容器質量 g	28.09		28.01		32.08	
	試料の質量 m g	291.08		319.19		275.94	
	試料の炉乾燥質量 $m_s$ g	225.90		252.33		212.42	
ふるい る い 残 留 分	ふるい	425 $\mu$ m	75 $\mu$ m	425 $\mu$ m	75 $\mu$ m	425 $\mu$ m	75 $\mu$ m
	容器 No.	436	436	524	524	323	323
	(炉乾燥試料+容器)質量 g	42.48	170.05	165.15	96.00	64.91	149.66
	容器質量 g	28.09	28.09	28.01	28.01	32.08	32.08
	炉乾燥試料の質量 g	14.39	141.96	137.14	67.99	32.83	117.58
組ふるいに残留した 炉乾燥質量 $m_{os}$ g		156.35		205.13		150.41	
細粒分含有率 $F_c$ %		31		19		29	
試料の最大粒径 mm							

特記事項

$$m_s = \frac{m}{1 + w/100}$$

$$F_c = \frac{m_s - m_{os}}{m_s} \times 100$$

JIS A 1223 JGS 0135	土の細粒分含有率試験	
------------------------	------------	--

調査件名 清水住宅地質調査(第4次)

試験年月日 平成29年7月29日

試験者 松村政広

試料番号(深さ)		2P-19(19.15~19.45m)					
含水比	容器 No.	522	200				
	$m_a$ g	130.70	136.67				
	$m_b$ g	114.13	117.19				
	$m_c$ g	31.25	20.28				
	w %	20.0	20.1				
平均値 w %		20.0					
試料の 炉乾燥 質量	容器 No.	522					
	(試料+容器)質量 g	315.77					
	容器質量 g	31.25					
	試料の質量 m g	284.52					
試料の炉乾燥質量 $m_s$ g		237.01					
ふるい る い 残 留 分	ふるい	425 $\mu$ m	75 $\mu$ m	425 $\mu$ m	75 $\mu$ m	425 $\mu$ m	75 $\mu$ m
	容器 No.	522	522				
	(炉乾燥試料+容器)質量 g	123.80	137.98				
	容器質量 g	31.25	31.25				
	炉乾燥試料の質量 g	92.55	106.73				
組ふるいに残留した 炉乾燥質量 $m_{os}$ g		199.28					
細粒分含有率 $F_c$ %		16					
試料の最大粒径 mm							

特記事項

$$m_s = \frac{m}{1 + w/100}$$

$$F_c = \frac{m_s - m_{os}}{m_s} \times 100$$

## 液状化判定結果図

液状化簡易判定結果 (建築基礎構造設計指針 (新))

件名: 清水住宅地質調査(第4次)

ボーリングNo. No. 1

地盤標高: 5.67m

地下水位: GL- 3.35m

標尺 (m)	柱状図	地層深度 (m)	層厚 (m)	$\gamma_t$ (kN/m <sup>3</sup> )	$\gamma_{sat}$ (kN/m <sup>3</sup> )	$\gamma'$ (kN/m <sup>3</sup> )	計算深度 (m)	N 値	$\sigma_v$ (kN/m <sup>2</sup> )	$\sigma_v'$ (kN/m <sup>2</sup> )	シルト分 (%)	粘土分 (%)	塑性指数	補正 N 値	M = 7.5 $\alpha_{max} = 200.0 \text{ gal}$			低減率 $\beta$	N 値 ● FLの深度分布 ○				標尺 (m)	
															R	L	FL		判定	0.5	1.0	1.5		
		0.40	0.40	20.0	21.0	11.0	1.30	3	24.2	24.2	80.0	0.0	0.0	*****	*****	*****	*****	○	1.00					
		3.35	2.95	18.0	19.0	9.0	2.30	4	42.2	42.2	80.0	0.0	0.0	*****	*****	*****	*****	○	1.00					
		4.60	1.25	20.0	21.0	11.0	3.30	17	60.2	60.2	80.0	0.0	0.0	*****	*****	*****	*****	○	1.00					
5		5.25	0.65	20.0	21.0	11.0	4.30	40	81.1	71.6	0.0	0.0	0.0	47.3	19.89	0.141	141.5	○	1.00					
							5.30	26	102.0	82.5	31.0	0.0	0.0	37.7	4.290	0.151	28.41	○	1.00					
							6.30	10	121.0	91.5	31.0	0.0	0.0	19.6	0.222	0.159	1.398	○	1.00					
							7.30	7	140.0	100.5	31.0	0.0	0.0	16.1	0.175	0.165	1.063	○	1.00					
							8.30	13	159.0	109.5	31.0	0.0	0.0	21.5	0.270	0.169	1.600	○	1.00					
		9.15	3.90	18.0	19.0	9.0	9.30	25	178.0	118.5	19.0	0.0	0.0	30.8	1.196	0.171	6.974	○	1.00					
10		10.25	1.10	18.0	19.0	9.0	10.30	11	196.9	127.3	65.0	0.0	0.0	*****	*****	*****	*****	○	1.00					
		10.95	0.70	16.0	17.0	7.0	11.30	24	214.6	135.0	19.0	0.0	0.0	28.5	0.778	0.175	4.448	○	1.00					
		11.90	0.95	18.0	19.0	9.0	12.30	18	233.6	144.0	31.0	0.0	0.0	24.1	0.376	0.175	2.146	○	1.00					
		12.80	0.90	18.0	19.0	9.0	13.30	15	252.6	153.0	10.0	0.0	0.0	18.1	0.199	0.175	1.133	○	1.00					
		14.25	1.45	18.0	19.0	9.0	14.30	16	271.6	162.0	65.0	0.0	0.0	*****	*****	*****	*****	○	1.00					
15		14.70	0.45	18.0	19.0	9.0	15.30	18	290.6	171.0	75.0	0.0	0.0	*****	*****	*****	*****	○	1.00					
		16.95	2.25	18.0	19.0	9.0	16.30	30	309.6	180.0	75.0	0.0	0.0	*****	*****	*****	*****	○	1.00					
							17.30	15	328.6	189.0	29.0	0.0	0.0	19.8	0.227	0.171	1.330	○	1.00					
							18.30	20	347.6	198.0	29.0	0.0	0.0	23.1	0.328	0.169	1.941	○	1.00					
							19.30	17	366.6	207.0	29.0	0.0	0.0	20.7	0.247	0.167	1.483	○	1.00					
20		23.15	6.20	18.0	19.0	9.0	20.30	23	385.6	216.0	29.0	0.0	0.0	*****	*****	*****	*****	*	*****					

沈下量  
0.00 cm

PL法

FL値による判定  
X-液状化すると判定  
○-液状化しないと判定

PL法による判定  
X-PL > 1.5 液状化危険度が極めて高い  
△-1.5 ≦ PL < 5 液状化危険度が高い  
○-PL ≦ 5 液状化危険度が低い

液状化簡易判定結果 (建築基礎構造設計指針 (新))

件名: 清水住宅地質調査(第4次)

ボーリングNo. No. 1

地盤標高: 5.67m

地下水位: GL- 3.35m

標尺 (m)	柱状図	地層深度 (m)	層厚 (m)	$\gamma_t$ (kN/m <sup>3</sup> )	$\gamma_{sat}$ (kN/m <sup>3</sup> )	$\gamma'$ (kN/m <sup>3</sup> )	計算深度 (m)	N 値	$\sigma_v$ (kN/m <sup>2</sup> )	$\sigma_v'$ (kN/m <sup>2</sup> )	シルト分 (%)	粘土分 (%)	塑性指数	補正 N 値	M= 7.5 $\alpha_{max}=350.0$ gal			低減率 $\beta$	N 値 ● FLの深度分布 ○			標尺 (m)	
															R	L	FL		判定	0.5	1.0		1.5
		0.40	0.40	20.0	21.0	11.0	1.30	3	24.2	24.2	80.0	0.0	0.0	*****	*****	*****	*****	○	1.00				
		3.35	2.95	18.0	19.0	9.0	2.30	4	42.2	42.2	80.0	0.0	0.0	*****	*****	*****	*****	○	1.00				
		4.60	1.25	20.0	21.0	11.0	3.30	17	60.2	60.2	80.0	0.0	0.0	*****	*****	*****	*****	○	1.00				
5		5.25	0.65	20.0	21.0	11.0	4.30	40	81.1	71.6	0.0	0.0	0.0	47.3	19.89	0.246	80.84	○	1.00				
							5.30	26	102.0	82.5	31.0	0.0	0.0	37.7	4.290	0.264	16.24	○	1.00				
							6.30	10	121.0	91.5	31.0	0.0	0.0	19.6	0.222	0.278	0.799	X	0.33				
							7.30	7	140.0	100.5	31.0	0.0	0.0	16.1	0.175	0.288	0.607	X	0.21				
							8.30	13	159.0	109.5	31.0	0.0	0.0	21.5	0.270	0.295	0.914	X	0.44				
		9.15	3.90	18.0	19.0	9.0	9.30	25	178.0	118.5	19.0	0.0	0.0	30.8	1.196	0.300	3.985	○	1.00				
10		10.25	1.10	18.0	19.0	9.0	10.30	11	196.9	127.3	65.0	0.0	0.0	*****	*****	*****	*****	○	1.00				
		10.95	0.70	16.0	17.0	7.0	11.30	24	214.6	135.0	19.0	0.0	0.0	28.5	0.778	0.306	2.542	○	1.00				
		11.90	0.95	18.0	19.0	9.0	12.30	18	233.6	144.0	31.0	0.0	0.0	24.1	0.376	0.307	1.226	○	1.00				
		12.80	0.90	18.0	19.0	9.0	13.30	15	252.6	153.0	10.0	0.0	0.0	18.1	0.199	0.307	0.647	X	0.69				
		14.25	1.45	18.0	19.0	9.0	14.30	16	271.6	162.0	65.0	0.0	0.0	*****	*****	*****	*****	○	1.00				
15		14.70	0.45	18.0	19.0	9.0	15.30	18	290.6	171.0	75.0	0.0	0.0	*****	*****	*****	*****	○	1.00				
		16.95	2.25	18.0	19.0	9.0	16.30	30	309.6	180.0	75.0	0.0	0.0	*****	*****	*****	*****	○	1.00				
							17.30	15	328.6	189.0	29.0	0.0	0.0	19.8	0.227	0.299	0.760	X	0.95				
							18.30	20	347.6	198.0	29.0	0.0	0.0	23.1	0.328	0.296	1.109	○	1.00				
							19.30	17	366.6	207.0	29.0	0.0	0.0	20.7	0.247	0.292	0.847	X	1.00				
20		23.15	6.20	18.0	19.0	9.0	20.30	23	385.6	216.0	29.0	0.0	0.0	*****	*****	*****	*****	*	*****				

沈下量	5.87 cm
PL法	6.60
	△

FL値による判定  
 X-液状化すると判定  
 ○-液状化しないと判定  
 PL法による判定  
 X-PL>1.5 液状化危険度が極めて高い  
 △-1.5≦PL<5 液状化危険度が高い  
 ○-PL≦5 液状化危険度が低い





